

WS19/20, PAP2.1, Versuch 212:
Zähigkeit von Flüssigkeiten

Praktikant:

Gerasimov, Vsevolod

zusammen mit

Reiter, Leonardo

Betreuer:

Jäschke, Cornelia

Durchführung am
7. Januar, 2020

Inhaltsverzeichnis

	Seite
1 Einführung	2
2 Versuchsaufbau, Literaturwerte & Vorbereitung	2
3 Durchführung	3
3.1 Messung der Viskosität nach Stokes	3
3.2 Messung der Viskosität nach Hagen-Poiseuille	3
4 Messergebnisse	4
5 Auswertung mit Python	4
5.1 Messung der Viskosität nach Stokes	4
5.1.1 Rechnung	4
5.1.2 Source Code & Input	6
5.1.3 Output	10
5.2 Messung der Viskosität nach Hagen-Poiseuille	11
5.2.1 Rechnung	11
5.2.2 Source Code & Input	13
5.2.3 Output	15
6 Fazit	15
7 Abbildungen	16
Messung nach Stokes	17
Bestimmung der kritischen Reynoldszahl Re_{kr}	18
Messung nach Hagen-Poiseuille	19

1 Einführung¹

In diesem Versuch werden wir die Viskosität η von Polyethylenglykol nach Stokes mit einem Kugelfallviskosimeter bestimmen und zusätzlich ist die Gültigkeitsgrenze des Stokes'schen " Gesetzes zu überprüfen, indem der Übergang von laminarer zu turbulenter Umströmung der Kugel (Wirbelablösung) ermittelt wird.

Danach bestimmen wir wieder die Zähigkeit η von Polyethylenglykol, aber jetzt nach Hagen-Poiseuille mit einem Kapillarviskosimeter.

Am Ende vergleichen wir die 2 gewonnenen Werte für η miteinander.

2 Versuchsaufbau¹, Literaturwerte & Vorbereitung

- Messzylinder (Innendurchmesser: $D = 75.0(5) \text{ mm}$) aus Hartglas mit Messskaler, gefüllt mit Polyethylenglykol. Am unteren Teil des Zylinders befindet sich eine Präzisionskapillare (Länge: $L = 100.0(5) \text{ mm}$), Kapillardurchmesser: $2R = 1.50(1) \text{ mm}$).
- Kugeln aus „Hostaform C“ mit folgenden Durchmessern:

$$d = 2.0/3.0/4.0/5.0/6.0/7.144/8.0/9.0 \text{ mm } (\pm 1\%)$$

Die Dichte der Kugeln und die Dichte von Polyethylenglykol wurden angegeben.

- Abbildung 1 wurde uns bereitgestellt¹ und zeigt die Abhängigkeit von der Temperatur und der Dichte des Polyethylenglykols.
- Literaturwert für Erdbeschleunigung² in Heidelberg, Baden Württemberg, Deutschland: $g = 9.80984(2) \text{ m s}^{-2}$

¹Dr. J.Wagner - Physikalisches Anfängerpraktikum - V. 1.1 Stand 01/2018, Versuch 212

²Dr. J.Wagner - Physikalisches Anfängerpraktikum - V. 1.2 Stand 06/2016, Versuch 14

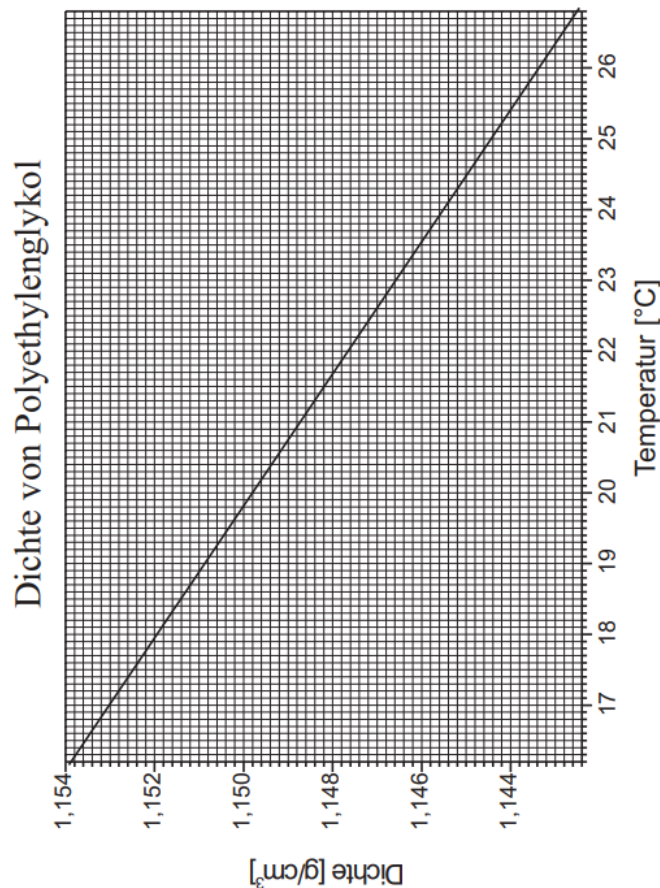


Abbildung 1

3 Durchführung

3.1 Messung der Viskosität nach Stokes

Es wird die Fallzeit t der Kugel zwischen zwei im Abstand h angebrachten Markierungen gemessen. Die Messungen werden mit fallendem Kugelradius durchgeführt und die Werte h und t notiert. Wir notieren die Temperatur der Flüssigkeit während der Messung mit den kleinsten Kugeln. Der Abstand der ersten Messmarke von der Flüssigkeitsoberfläche wird so gewählt, dass sich die Kugel beim Durchlaufen der ersten Messmarke, mit konstanter Geschwindigkeit bewegt. Wir lassen von jedem Durchmesser 5 Kugeln die Fallstrecke möglichst in der Rohrachse durchfallen. Zur Bestimmung der Fallzeit dienen die beigegebenen Handstoppuhren.

Der Innendurchmesser D des Kugelfallgefäßes ist am Viskosimeter angegeben. Dieser Wert wurde ursprünglich im Protokoll vergessen und nachträglich nachgeschaut.

Bei der Durchführung des Experiments wird unbedingt darauf geachtet, dass an den Kugeln keine Luftbläschen haften. Daher sortieren wir vor dem Einbringen der Kugeln in das Fallgefäß, zunächst einige Kugeln des jeweiligen Durchmessers in ein Becherglas und geben etwas Flüssigkeit mit hinein. Wir schwenken das Becherglas vorsichtig um, so dass die Kugeln vollständig benetzt sind und keinerlei Luftbläschen mehr daran zu erkennen sind. Mit der Pinzette werden dann die mit der Flüssigkeit benetzten Kugeln in das Fallgefäß gegeben.

3.2 Messung der Viskosität nach Hagen-Poiseuille

Unter den Ausfluss der Kapillare stellen wir ein Becherglas und öffnen den Hahn, indem wir ihn parallel zur Kapillare drehen. Wir warten nach dem Öffnen so lange ab, bis sich die Strömungsverhältnisse stabilisiert haben und eine gleichmäßige Tropfenfolge zu beobachten ist. Sobald dies der Fall ist, stellen wir einen leeren Messzylinder unter den Ausfluss, starten die Stoppuhr und notieren die Anfangshöhe h_a der Flüssigkeitssäule. Wir messen die Ausströmzeit von 25 cm^3 der Flüssigkeit. Nachdem diese Mengen ausgeströmt sind, schließen Sie den Hahn und messen erneut die Höhe des Flüssigkeitsspiegels h_e und notieren die Temperatur der Flüssigkeit. Da eine Wiederholung der Messung relativ lange dauert, bei einer einmaligen Messung aber die Möglichkeit eines Irrtums besteht, nehmen wir zur Kontrolle

Zwischenwerte des Volumens auf. Wir Notieren daher bei laufender Stoppuhr die Ausflusszeit bei **5, 10, 15, 20** und **25 cm³**.

4 Messergebnisse

Alle Messdaten wurden dem Versuchsprotokoll (7. Januar, 2020) entnommen und in die Tabellen 1 und 2 übertragen. Der Innendurchmesser ***D*** wurde nachträglich im Versuchsraum nachgeschaut und ist in der Beschreibung des Versuchsaufbaus oben aufgezählt.

5 Auswertung mit Python

5.1 Messung der Viskosität nach Stokes

5.1.1 Rechnung

Wir gehen davon aus, dass das Sinkgeschwindigkeit sich linear Quadrat des Kugelradius verhält. Daher ist unser funktionales Modell für die Ausgleichsrechnung wie folgt:

$$\frac{v_{lam}}{\rho_k - \rho_f} = S r^2 \quad (1)$$

wobei die Steigung

$$S = \frac{2}{9} g \frac{1}{\eta} \quad (2)$$

ist und die gemittelte Sinkgeschwindigkeiten ergeben sich aus

$$\langle v \rangle = \frac{1}{n} \sum_{i=1}^n v_i \quad (3)$$

$$\begin{aligned} \Delta \langle v \rangle &= \sqrt{\text{Var}(\langle v \rangle)} = \sqrt{\text{Var}\left(\frac{1}{n} \sum_{i=1}^n v_i\right)} \\ &= \sqrt{\frac{1}{n^2} \text{Var}\left(\sum_{i=1}^n v_i\right)} = \frac{1}{n} \sqrt{\sum_{i=1}^n (\Delta v_i)^2} \end{aligned} \quad (4)$$

Wegen des endlichen Durchmessers des Fallrohres, wird die Sinkgeschwindigkeit verfälscht und systematisch zu klein gemessen, wobei der Fehler mit wachsendem Kugelradius zunimmt. Dies lässt sich durch die Ladenburg'sche Korrektur ***λ*** im Stokes'schen Gesetz berücksichtigen:

$$v_{lam} = \lambda \langle v \rangle \quad (5)$$

mit

$$\lambda = 1 + 2.1 \frac{d}{D} \quad (6)$$

Die Fehler hier sind

$$\Delta v_{lam} = v_{lam} \sqrt{\left(\frac{\Delta \lambda}{\lambda}\right)^2 + \left(\frac{\Delta \langle v \rangle}{\langle v \rangle}\right)^2} \quad (7)$$

und

$$\begin{aligned} \Delta \lambda &= \Delta \left(1 + 2.1 \frac{d}{D}\right) \\ &= \Delta \left(2.1 \frac{d}{D}\right) \\ &= 2.1 \frac{d}{D} \sqrt{\left(\frac{\Delta d}{d}\right)^2 + \left(\frac{\Delta D}{D}\right)^2} \end{aligned} \quad (8)$$

Zusätzlich werden wir folgende Formeln benutzen:

$$r^2 = \left(\frac{d}{2}\right)^2 \quad (9)$$

Tabelle 1: Messung der Fallzeiten

Messung Nr.	Durchmesser d [mm]	Zeit t [s]	Fallhöhe h [mm]	Dichte ρ [g cm ⁻³]	Durchmesser d [mm]	Zeit t [s]	Fallhöhe h [mm]	Dichte ρ [g cm ⁻³]	Durchmesser d [mm].	Zeit t [s]	Fallhöhe h [mm]	Dichte ρ [g cm ⁻³]
1	9.00 ± 0.09	2.87 ± 0.40	100 ± 3	1.3625 ± 0.0025	6.00 ± 0.06	5.87 ± 0.40	100 ± 3	1.3775 ± 0.0025	3.00 ± 0.03	40.15 ± 0.40	200 ± 3	1.3775 ± 0.0025
2		3.01 ± 0.40				5.84 ± 0.40				40.46 ± 0.40		
3		3.12 ± 0.40				5.80 ± 0.40				40.40 ± 0.40		
4		3.14 ± 0.40				5.86 ± 0.40				40.42 ± 0.40		
5		3.12 ± 0.40				6.01 ± 0.40				40.65 ± 0.40		
1	8.00 ± 0.08	3.86 ± 0.40	100 ± 3	1.3575 ± 0.0025	5.00 ± 0.05	7.78 ± 0.40	100 ± 3	1.3775 ± 0.0025	2.00 ± 0.02	19.20 ± 0.40	50 ± 3	1.3775 ± 0.0025
2		4.48 ± 0.40				7.78 ± 0.40				20.07 ± 0.40		
3		3.81 ± 0.40				7.87 ± 0.40				38.32 ± 0.40	100 ± 3	
4		3.96 ± 0.40				7.92 ± 0.40				40.50 ± 0.40		
5		3.95 ± 0.40				8.07 ± 0.40				39.68 ± 0.40		
1	7.144 ± 0.071	18.00 ± 0.40	400 ± 3	1.3775 ± 0.0025	4.00 ± 0.04	11.58 ± 0.40	100 ± 3	1.3775 ± 0.0025	1.500 ± 0.015	91.84 ± 0.40	150 ± 3	1.3925 ± 0.0025
2		12.81 ± 0.40	11.12 ± 0.40			95.61 ± 0.40						
3		13.15 ± 0.40	6.09 ± 0.40			87.18 ± 0.40						
4		13.23 ± 0.40	5.75 ± 0.40			99.28 ± 0.40						
5		12.89 ± 0.40	5.87 ± 0.40			/						

¹ Δd angegeben als 1% von d ² Δh grob abgeschätzt als Hälfte der Skaleneinteilung von **5 mm**³ Δt grob abgeschätzt als menschliche Reaktionszeit von 300 ms und Faktor $\sqrt{2}$, weil zum Messen die Stoppuhr doppelt betätigt werden muss:
 $0.3 \text{ s} \times \sqrt{2} \approx 0.4 \text{ s} = \Delta t$ ⁴ Temperatur der Flüssigkeit während der Versuchsdurchführung: $T_1 = 21.0(5)^\circ \text{C}$

$$\Delta r^2 = 2 \frac{\Delta d}{d} \quad (10)$$

$$\begin{aligned} \Delta \left(\frac{v_{lam}}{\rho_k - \rho_f} \right) &= \frac{v_{lam}}{\rho_k - \rho_f} \sqrt{\left(\frac{\Delta v_{lam}}{v_{lam}} \right)^2 + \left(\frac{\Delta (\rho_k - \rho_f)}{\rho_k - \rho_f} \right)^2} \\ &= \frac{v_{lam}}{\rho_k - \rho_f} \sqrt{\left(\frac{\Delta v_{lam}}{v_{lam}} \right)^2 + \frac{(\Delta \rho_k)^2 + (\Delta \rho_f)^2}{(\rho_k - \rho_f)^2}} \end{aligned} \quad (11)$$

$$\begin{aligned} \Delta \left(\frac{\langle v \rangle}{\rho_k - \rho_f} \right) &= \frac{\langle v \rangle}{\rho_k - \rho_f} \sqrt{\left(\frac{\Delta \langle v \rangle}{\langle v \rangle} \right)^2 + \left(\frac{\Delta (\rho_k - \rho_f)}{\rho_k - \rho_f} \right)^2} \\ &= \frac{\langle v \rangle}{\rho_k - \rho_f} \sqrt{\left(\frac{\Delta \langle v \rangle}{\langle v \rangle} \right)^2 + \frac{(\Delta \rho_k)^2 + (\Delta \rho_f)^2}{(\rho_k - \rho_f)^2}} \end{aligned} \quad (12)$$

Am Ende berechnen wir aus der angepassten Steigung S die Viskosität η vom Polyethylenglykol, die theoretische Sinkgeschwindigkeit v_{theo} bei laminarer Strömung in und einer unendlich ausgedehnten Flüssigkeit und die Reynoldszahl Re für jeden der Kugeldurchmesser d :

$$\eta = \frac{2g}{9S} \quad (13)$$

$$\Delta \eta = \eta \sqrt{\left(\frac{\Delta g}{g} \right)^2 + \left(\frac{\Delta S}{S} \right)^2} \quad (14)$$

$$v_{theo} = S r^2 (\rho_k - \rho_f) \quad (15)$$

$$\Delta v_{theo} = v_{theo} \sqrt{\left(\frac{\Delta (S r^2)}{S r^2} \right)^2 + \frac{(\Delta \rho_k)^2 + (\Delta \rho_f)^2}{(\rho_k - \rho_f)^2}} \quad (16)$$

$$Re = \frac{\rho_f \langle v \rangle d}{\eta} \quad (17)$$

$$\Delta Re = Re \sqrt{\left(\frac{\Delta \rho_f}{\rho_f} \right)^2 + \left(\frac{\Delta \langle v \rangle}{\langle v \rangle} \right)^2 + \left(\frac{\Delta d}{d} \right)^2 + \left(\frac{\Delta \eta}{\eta} \right)^2} \quad (18)$$

5.1.2 Source Code & Input

So sieht unsere Python-Implementierung aus:

Header:

```
1 %matplotlib inline
2 import matplotlib.pyplot as plt
3 import numpy as np
4 from scipy.stats import chi2
5 from decimal import Decimal
6
7 def format_e(n):
8     a = '%e' % Decimal(n)
9     return a.split('e')[0].rstrip('0').rstrip('.') + 'e' + a.split('e')[1]
```

Messwerte aus Tabelle 1 in SI Einheiten:

```
1 d = np.array([9,
2               8,
3               7.144,
4               6,
5               5,
6               4,
7               3,
8               2,
9               1.5]) * 1e-3
10 Fehler_d = d * 0.01
11
12 t = np.array([2.87, 3.01, 3.12, 3.14, 3.12,
13               3.86, 4.48, 3.81, 3.96, 3.95,
```

```

14         18.00,12.81,13.15,13.23,12.89,
15         5.87,5.84,5.80,5.86,6.01,
16         7.78,7.78,7.87,7.92,8.07,
17         11.58,11.12,6.09,5.75,5.87,
18         40.15,40.46,40.40,40.42,40.65,
19         19.20,20.07,38.32,40.50,39.68,
20         91.84,95.61,87.18,99.28])
21 Fehler_t = np.full(t.size,0.4)
22
23 h = np.array([100,100,100,100,100,
24               100,100,100,100,100,
25               400,300,300,300,300,
26               100,100,100,100,100,
27               100,100,100,100,100,
28               100,100,50,50,50,
29               200,200,200,200,200,
30               50,50,100,100,100,
31               150,150,150,150]) *1e-3
32 Fehler_h = np.full(h.size,3) *1e-3
33
34 rho = np.array([1.3625,
35                 1.3575,
36                 1.3775,
37                 1.3775,
38                 1.3775,
39                 1.3775,
40                 1.3775,
41                 1.3775,
42                 1.3925]) *1e3
43 Fehler_rho = np.full(rho.size,0.0025) *1e3
44
45 D = 75 *1e-3
46 Fehler_D = 0.5*1e-3
47
48 g = 9.80984
49 Fehler_g = 0.00002

```

Werte für ρ_f aus den Temperaturwerten (Tab.1) und Abbildung 1 entnommen:

```

1 rho_PEG1 = 1.1487 *1e3
2 Fehler_rho_PEG1 = 0.0054 *1e3

```

Berechnung von $\langle v \rangle$ und $\Delta \langle v \rangle$ nach (3) bzw. (4):

```

1 v_mean = np.zeros(9)
2 v_mean[0] = np.mean((h/t)[0:5])
3 v_mean[1] = np.mean((h/t)[5:10])
4 v_mean[2] = np.mean((h/t)[10:15])
5 v_mean[3] = np.mean((h/t)[15:20])
6 v_mean[4] = np.mean((h/t)[20:25])
7 v_mean[5] = np.mean((h/t)[25:30])
8 v_mean[6] = np.mean((h/t)[30:35])
9 v_mean[7] = np.mean((h/t)[35:40])
10 v_mean[8] = np.mean((h/t)[40:44])
11 Fehler_v_mean = np.zeros(9)
12 Fehler_v_mean[0] = np.sqrt(np.mean(((h/t)**2*((Fehler_h/h)**2+(Fehler_t/t)**2))[0:5]/5))
13 Fehler_v_mean[1] = np.sqrt(np.mean(((h/t)**2*((Fehler_h/h)**2+(Fehler_t/t)**2))[5:10]/5))
14 Fehler_v_mean[2] = np.sqrt(np.mean(((h/t)**2*((Fehler_h/h)**2+(Fehler_t/t)**2))[10:15]/5))
15 Fehler_v_mean[3] = np.sqrt(np.mean(((h/t)**2*((Fehler_h/h)**2+(Fehler_t/t)**2))[15:20]/5))
16 Fehler_v_mean[4] = np.sqrt(np.mean(((h/t)**2*((Fehler_h/h)**2+(Fehler_t/t)**2))[20:25]/5))
17 Fehler_v_mean[5] = np.sqrt(np.mean(((h/t)**2*((Fehler_h/h)**2+(Fehler_t/t)**2))[25:30]/5))
18 Fehler_v_mean[6] = np.sqrt(np.mean(((h/t)**2*((Fehler_h/h)**2+(Fehler_t/t)**2))[30:35]/5))
19 Fehler_v_mean[7] = np.sqrt(np.mean(((h/t)**2*((Fehler_h/h)**2+(Fehler_t/t)**2))[35:40]/5))
20 Fehler_v_mean[8] = np.sqrt(np.mean(((h/t)**2*((Fehler_h/h)**2+(Fehler_t/t)**2))[40:44]/5))

```

Berechnung von λ und $\Delta \lambda$ nach (6) bzw. (8):

```

1 k = (1+2.1*(d/D))
2 Fehler_k = 2.1*(d/D)*np.sqrt((Fehler_d/d)**2+(Fehler_D/D)**2)

```

Berechnung von v_{lam} und Δv_{lam} nach (5) bzw. (7):

```

1 v_lam = k*v_mean
2 Fehler_v_lam = v_lam*np.sqrt((Fehler_v_mean/v_mean)**2+(Fehler_k/k)**2)

```

Hier wurde die Abgrenzung des linearen Bereichs in Abbildung 4 gesetzt. Er trennt den Bereich der turbulenten Strömung von dem der laminaren. Der Fit wird deswegen in Abbildung 3 auch nur in diesem Bereich vorgenommen, weil die von uns verwendeten physikalischen Gesetze und Korrekturen sich mit laminarer Strömung befassen.

```
1 breakpoint = 5
```

Berechnung von r^2 und Δr^2 nach (9) bzw. (10):

```
1 r_squared = (d/2)**2
2 Fehler_r_squared = r_squared*2*(Fehler_d/d)
```

Berechnung von $\frac{v_{lam}}{\rho_k - \rho_f}$ und $\Delta \frac{v_{lam}}{\rho_k - \rho_f}$ nach (11):

```
1 y1 = v_lam/(rho-rho_PEG1)
2 Fehler_y1 = y1*np.sqrt((Fehler_v_lam/v_lam)**2+(Fehler_rho**2+Fehler_rho_PEG1**2)/((rho-rho_PEG1)**2))
```

Berechnung von $\frac{\langle v \rangle}{\rho_k - \rho_f}$ und $\Delta \frac{\langle v \rangle}{\rho_k - \rho_f}$ nach (12):

```
1 y2 = v_mean/(rho-rho_PEG1)
2 Fehler_y2 = y2*np.sqrt((Fehler_v_mean/v_mean)**2+(Fehler_rho**2+Fehler_rho_PEG1**2)/((rho-rho_PEG1)**2))
```

Fitfunktion (1) wird deklariert:

```
1 from scipy import odr
2
3 def fit_func(p, x):
4     (s) = p
5     return s*x
6
7 model = odr.Model(fit_func)
```

darzustellende Daten werden übergeben:

```
1 x = r_squared[5:r_squared.size]
2 y = y1[5:r_squared.size]
3 delta_x = Fehler_r_squared[5:r_squared.size]
4 delta_y = Fehler_y1[5:r_squared.size]
```

Startparameter für Ausgleichungsrechnung werden gesetzt, sodass Lösung konvergiert:

```
1 para0 = [1]
2
3 data = odr.RealData(x, y, sx=delta_x, sy=delta_y)
4 odr = odr.ODR(data, model, beta0=para0 )
5 out = odr.run()
```

Endgültige Ausgleichungsparameter und ihre Kovarianzmatrix werden ausgelesen:

```
1 popt = out.beta
2 perr = out.sd_beta
```

Angabe welche Sigma-Umgebung der Fitfunktion im Diagramm dargestellt werden soll:

```
1 nstd = 1
2
3 popt_top = popt+nstd*perr
4 popt_bot = popt-nstd*perr
```

Plot-Umgebung wird angegeben:

```
1 x_fit0 = np.linspace(min(x)-(max(x)-min(x))/10, max(x)+(max(x)-min(x))/10, 1000)
2 x_fit = np.linspace(min(r_squared)-(max(r_squared)-min(r_squared))/10, max(r_squared)+(max(r_squared)-min(r_squared))/10, 1000)
3 fit = fit_func(popt, x_fit)
4 fit_top = fit_func(popt_top, x_fit)
5 fit_bot = fit_func(popt_bot, x_fit)
```

Diagramm (Abb.3) wird erstellt:

```
1 fig, ax = plt.subplots(1, figsize=[6.4 *2, 4.8 *2])
2 plt.ticklabel_format(axis='both', style='sci', scilimits=(0,3), useMathText=True)
3 plt.errorbar(r_squared, y1, yerr=Fehler_y1, xerr=Fehler_r_squared, lw=1, ecolor='k', fmt='none',
4             capsize=2, label='$v_{lam}$ (mit Ladenburgscher Korrektur)')
5 plt.errorbar(r_squared, y2, yerr=Fehler_y2, xerr=Fehler_r_squared, lw=1, ecolor='r', fmt='none',
6             capsize=2, label='$v_{mean}$ (ohne Korrektur)')
7 plt.plot(x_fit, fit, 'r', lw=1, label='Fit')
8 plt.plot(x_fit0, np.zeros(x_fit0.size), 'g:', lw=5, label='linearer Bereich, wo der Fit durchgeführt wurde')
```



```

7 ax.fill_between(x_fit, fit_top, fit_bot, color='C3', alpha=.25, label=str(nstd)+r'$\sigma$'+'-
  Umgebung')
8 plt.title('Messung nach Stokes')
9 plt.grid(True)
10 plt.xlabel('$r^2$ [m^2]')
11 plt.ylabel('$v/(\rho-\rho_{PEG})$ [m^4] $s^{-1}$ $kg^{-1}$')
12 plt.legend(loc='best')
13 plt.savefig('figures/212_Fig1.pdf', format='pdf', bbox_inches='tight')

```

Der Chi-Quadrat-Test wird durchgeführt unter Berücksichtigung von Δr^2 und $\Delta \frac{v_{lam}}{\rho_k - \rho_f}$. D.h. es wird jeweils der senkrechte/orthogonale Abstand der Messwerte zur Fitfunktion (Abb.2) berechnet und normiert³. Die Summe der normierten Abstandsquadrate, der χ^2 -Wert, wird reduziert.

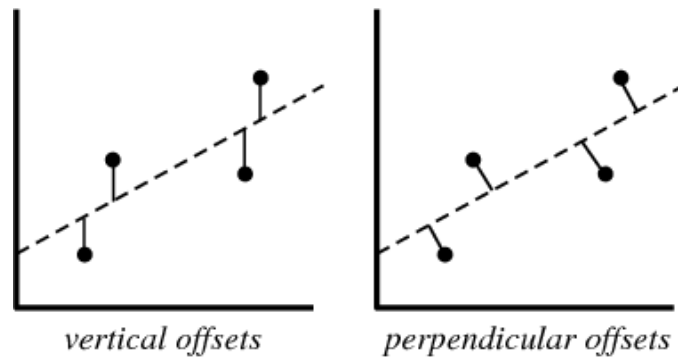


Abbildung 2: Abstände von Messdaten zur Fitfunktion⁴

```

1 dof = x.size-popt.size
2 chisquare = out.sum_square
3 chisquare_red = chisquare/dof
4 prob = round(1-chi2.cdf(chisquare,dof),2)*100

```

Auslesen der Messergebnisse:

```

1 S = popt[0]
2 Fehler_S = perr[0]

```

Berechnung von η und $\Delta\eta$ nach (13) bzw. (14):

```

1 eta1 = 2*g/(9*S)
2 Fehler_eta1 = eta1*np.sqrt((Fehler_g/g)**2+(Fehler_S/S)**2)

```

Berechnung von v_{theo} und Δv_{theo} nach (15) bzw. (16):

```

1 v_theo = (fit_func(popt, r_squared))*(rho-rho_PEG1)
2 Fehler_v_theo = v_theo*np.sqrt(((fit_func(popt+perr, r_squared)-fit_func(popt-perr, r_squared))/2/
  fit_func(popt, r_squared))**2+(Fehler_rho**2+Fehler_rho_PEG1**2)/((rho-rho_PEG1)**2))

```

Berechnung von Re und ΔRe nach (17) bzw. (18):

```

1 Re = rho_PEG1*v_mean*d/eta1
2 Fehler_Re = Re*np.sqrt((Fehler_v_mean/v_mean)**2+(Fehler_rho_PEG1/rho_PEG1)**2+(Fehler_d/d)**2+(
  Fehler_eta1/eta1)**2)

```

Ausgabe der Messergebnisse wird erstellt:

```

1 print('Steigung [m^2 / (kg s)]: ')
2 print('S =', format_e(S), ' +- ', format_e(Fehler_S))
3 print('Chi-Quadrat =', chisquare)
4 print('Freiheitsgrade =', dof)
5 print('Chi-Quadrat reduziert =', chisquare_red)
6 print('Wahrscheinlichkeit ein größeres oder gleiches Chi-Quadrat zu erhalten =', prob, '%')
7 print('\n')
8 print('Viskosität: ')
9 print('eta_1 [Pa*s] =', format_e(eta1), ' +- ', format_e(Fehler_eta1))
10 print('\n')

```

³P. T. Boggs and J. E. Rogers, "Orthogonal Distance Regression," in "Statistical analysis of measurement error models and applications: proceedings of the AMS-IMS-SIAM joint summer research conference held June 10-16, 1989," Contemporary Mathematics, vol. 112, pg. 186, 1990.

⁴<http://mathworld.wolfram.com/LeastSquaresFitting.html>

```

11 print('Tabelle:')
12 i = 0
13 while i < 9:
14     print('d [m] =', format_e(d[i]), ' +- ', format_e(Fehler_d[i]))
15     print('v_mean [m / s] =', format_e(v_mean[i]), ' +- ', format_e(Fehler_v_mean[i]))
16     print('v_theo [m / s] =', format_e(v_theo[i]), ' +- ', format_e(Fehler_v_theo[i]))
17     print('Abweichung =', round((v_mean[i]-v_theo[i])/np.sqrt(Fehler_v_mean[i]**2+Fehler_v_theo[i]**2),2), 'sigma')
18     print('Re =', format_e(Re[i]), ' +- ', format_e(Fehler_Re[i]))
19     print('\n')
20     i = i+1

```

```

1 k2 = 1/k
2 Fehler_k2 = k2*Fehler_k/k
3
4 x_fit1 = np.linspace(Re[0]*1.1, Re[breakpoint+1], 1000)
5 x_fit2 = np.linspace(Re[breakpoint-3], Re[Re.size-1]/1.1, 1000)
6
7 line1 = k2[0]+np.log(x_fit1/Re[0])*(k2[breakpoint-1]-k2[0])/np.log(Re[breakpoint-1]/Re[0])
8 line2 = k2[breakpoint]+np.log(x_fit2/Re[breakpoint])*(k2[k2.size-1]-k2[breakpoint])/np.log(Re[Re.size-1]/Re[breakpoint])

```

Diagramm (Abb.4) wird erstellt:

```

1 fig, ax = plt.subplots(1, figsize=[6.4 *2, 4.8 *2])
2 plt.ticklabel_format(axis='both', style='sci', scilimits=(0,3), useMathText=True)
3 plt.errorbar(Re, k2, yerr=Fehler_k2, xerr=Fehler_Re, lw=1, ecolor='k', fmt='none', capsize=2, label='Messdaten')
4 plt.plot(x_fit1, line1, 'r', lw=1, label='1. Gerade')
5 plt.plot(x_fit2, line2, 'g', lw=1, label='2. Gerade')
6 plt.title('Bestimmung der kritischen Reynoldszahl  $\{Re\}_{kr}$ ')
7 plt.xscale('log')
8 plt.grid(which='major')
9 plt.grid(which='minor', linestyle=':')
10 plt.xlabel('Re')
11 plt.ylabel('$v/v_{\lambda}$')
12 plt.legend(loc='best')
13 plt.savefig('figures/212_Fig2.pdf', format='pdf', bbox_inches='tight')

```

5.1.3 Output

```

1 Steigung [m^2 / (kg s)]:
2 S = 1.1227e+01 +- 4.647375e-01
3 Chi-Quadrat = 14.872634095929296
4 Freiheitsgrade = 3
5 Chi-Quadrat reduziert = 4.957544698643098
6 Wahrscheinlichkeit ein größeres oder gleiches Chi-Quadrat zu erhalten = 0.0 %
7
8 Viskosität:
9 eta_1 [Pa*s] = 1.941716e-01 +- 8.037662e-03
10
11
12 Tabelle:
13 d [m] = 9e-03 +- 9e-05
14 v_mean [m / s] = 3.28031e-02 +- 1.981428e-03
15 v_theo [m / s] = 4.860673e-02 +- 2.424582e-03
16 Abweichung = -5.05 sigma
17 Re = 1.746539e+00 +- 1.293409e-01
18
19
20 d [m] = 8e-03 +- 8e-05
21 v_mean [m / s] = 2.500877e-02 +- 1.177701e-03
22 v_theo [m / s] = 3.750716e-02 +- 1.88498e-03
23 Abweichung = -5.62 sigma
24 Re = 1.183595e+00 +- 7.535353e-02
25
26
27 d [m] = 7.144e-03 +- 7.144e-05
28 v_mean [m / s] = 2.288094e-02 +- 3.15728e-04
29 v_theo [m / s] = 3.277499e-02 +- 1.602269e-03
30 Abweichung = -6.06 sigma
31 Re = 9.670218e-01 +- 4.352693e-02
32
33

```

```

34 d [m] = 6e-03 +- 6e-05
35 v_mean [m / s] = 1.702084e-02 +- 5.66537e-04
36 v_theo [m / s] = 2.311864e-02 +- 1.130199e-03
37 Abweichung = -4.82 sigma
38 Re = 6.041618e-01 +- 3.277821e-02
39
40
41 d [m] = 5e-03 +- 5e-05
42 v_mean [m / s] = 1.268625e-02 +- 3.345911e-04
43 v_theo [m / s] = 1.605461e-02 +- 7.848605e-04
44 Abweichung = -3.95 sigma
45 Re = 3.752531e-01 +- 1.887944e-02
46
47
48 d [m] = 4e-03 +- 4e-05
49 v_mean [m / s] = 8.610421e-03 +- 2.900494e-04
50 v_theo [m / s] = 1.027495e-02 +- 5.023107e-04
51 Abweichung = -2.87 sigma
52 Re = 2.037536e-01 +- 1.110476e-02
53
54
55 d [m] = 3e-03 +- 3e-05
56 v_mean [m / s] = 4.948613e-03 +- 3.977206e-05
57 v_theo [m / s] = 5.779659e-03 +- 2.825498e-04
58 Abweichung = -2.91 sigma
59 Re = 8.782651e-02 +- 3.828479e-03
60
61
62 d [m] = 2e-03 +- 2e-05
63 v_mean [m / s] = 2.53887e-03 +- 5.347162e-05
64 v_theo [m / s] = 2.568737e-03 +- 1.255777e-04
65 Abweichung = -0.22 sigma
66 Re = 3.00394e-02 +- 1.434106e-03
67
68
69 d [m] = 1.5e-03 +- 1.5e-05
70 v_mean [m / s] = 1.608401e-03 +- 1.647327e-05
71 v_theo [m / s] = 1.539643e-03 +- 7.398712e-05
72 Abweichung = 0.91 sigma
73 Re = 1.427271e-02 +- 6.287311e-04

```

Wir erfahren also sofort, dass

$$S = 1.123(46) \times 10^1 m^2 kg^{-1} s^{-1}$$

$$\eta_1 = 1.942(80) \times 10^{-1} Pa s$$

und als Ergebnis auf unseren Anpassungstest:

$$\chi_{red}^2 = 5.0$$

Die Wahrscheinlichkeit ein größeres oder gleiches Chi-Quadrat zu erhalten ist

$$P \approx 0.0\%$$

und wir erhalten die Diagramme in Abb.3 und 4 und die Ergebnisse in Tabelle 3.

Abbildung 4 können wir entnehmen, dass in unserem Versuch

$$Re_{kr} \approx 0.30(5)$$

gelten muss, da in diesem Bereich die laminare Strömung zu Turbulenzen übergeht.

5.2 Messung der Viskosität nach Hagen-Poiseuille

5.2.1 Rechnung

Wir gehen davon aus, dass die Viskosität konstant ist. Daher ist unser funktionales Modell für die Ausgleichsrechnung wie folgt:

$$\eta = konst. \quad (19)$$

Wir wissen, dass

$$\frac{dV}{dt} = \frac{\pi \rho_f h g R^4}{8 L \eta} \quad (20)$$

Tabelle 2: Messung des Volumenstroms

Volumenänderung $\Delta V [cm^3]$	Zeit $t [s]$
5.0 ± 0.2	42.42 ± 0.30
10.0 ± 0.2	286.19 ± 0.30
15.0 ± 0.2	426.84 ± 0.30
20.0 ± 0.2	576.70 ± 0.30
25.0 ± 0.2	721.65 ± 0.30

¹ Anfangshöhe: $h_a = 499(3) \text{ mm}$ ² Endhöhe: $h_e = 495(3) \text{ mm}$ ³ Δt grob abgeschätzt als menschliche Reaktionszeit von 300 ms⁴ Temperatur der Flüssigkeit während der Versuchsdurchführung: $T_2 = 22.0(5) \text{ }^\circ\text{C}$

Tabelle 3: Ergebnisse der Python-Auswertung zum Versuch nach Stokes

Kugeldurchmesser $d [mm]$	Sinkgeschwindigkeit			Reynoldszahl	Strömungsart
	$\langle v \rangle [m \text{ s}^{-1}]$	$v_{theo} [m \text{ s}^{-1}]$	Abweichung		
9.00 ± 0.09	3.28×10^{-2} $\pm 0.20 \times 10^{-2}$	4.86×10^{-2} $\pm 0.24 \times 10^{-2}$	-5.1σ	1.75 ± 0.13	turbulent
8.00 ± 0.08	2.50×10^{-2} $\pm 0.12 \times 10^{-2}$	3.75×10^{-2} $\pm 0.19 \times 10^{-2}$	-5.6σ	1.184 ± 0.075	turbulent
7.114 ± 0.071	2.288×10^{-2} $\pm 0.032 \times 10^{-2}$	3.28×10^{-2} $\pm 0.16 \times 10^{-2}$	-6.1σ	0.967 ± 0.044	turbulent
6.00 ± 0.06	1.702×10^{-2} $\pm 0.057 \times 10^{-2}$	2.31×10^{-2} $\pm 0.11 \times 10^{-2}$	-4.8σ	0.604 ± 0.033	turbulent
5.00 ± 0.05	1.269×10^{-2} $\pm 0.033 \times 10^{-2}$	1.605×10^{-2} $\pm 0.078 \times 10^{-2}$	-4.0σ	0.375 ± 0.019	turbulent
4.00 ± 0.04	8.61×10^{-3} $\pm 0.29 \times 10^{-3}$	10.27×10^{-3} $\pm 0.50 \times 10^{-3}$	-2.9σ	0.204 ± 0.011	laminar
3.00 ± 0.03	4.949×10^{-3} $\pm 0.040 \times 10^{-3}$	5.78×10^{-3} $\pm 0.28 \times 10^{-3}$	-2.9σ	0.0878 ± 0.0038	laminar
2.00 ± 0.02	2.539×10^{-3} $\pm 0.053 \times 10^{-3}$	2.57×10^{-3} $\pm 0.13 \times 10^{-3}$	-0.2σ	0.0300 ± 0.0014	laminar
1.500 ± 0.015	1.608×10^{-3} $\pm 0.016 \times 10^{-3}$	1.540×10^{-3} $\pm 0.074 \times 10^{-3}$	$+0.9 \sigma$	0.01427 ± 0.00063	laminar

¹ Nur der Bereich der laminaren Strömung wurde zum Anpassen der Funktion benutzt. Zudem ist $\langle v \rangle$ der noch nicht der korrigierte Wert, im Gegensatz zu v_{lam} .

gilt, also

$$\eta = \frac{\pi \rho_f h g R^4 t}{8 L (\Delta V) \ln\left(\frac{h_a}{h}\right)} \quad (21)$$

Weil $h_e \approx h_a$ bzw. $\ln\left(\frac{h_a}{h}\right) \approx 1$ nähern wir für jedes Paar unserer Messwerte aus Tabelle 2 und berechnen die Viskosität nach

$$\eta = \frac{\pi \rho_f \langle h \rangle g R^4 t}{8 L (\Delta V)} \quad (22)$$

$$\Delta \eta = \eta \sqrt{\left(\frac{\Delta \rho_f}{\rho_f}\right)^2 + \left(\frac{\Delta \langle h \rangle}{\langle h \rangle}\right)^2 + \left(\frac{\Delta g}{g}\right)^2 + 4 \left(\frac{\Delta R}{R}\right)^2 + \left(\frac{\Delta t}{t}\right)^2 + \left(\frac{\Delta L}{L}\right)^2 + \left(\frac{\Delta (\Delta V)}{(\Delta V)}\right)^2} \quad (23)$$

mit

$$\langle h \rangle \approx h_a + (h_e - h_a) q \quad \text{mit} \quad q = \frac{1}{5}, \frac{2}{5}, \frac{3}{5}, \frac{4}{5}, \frac{5}{5} \quad (24)$$

Der Faktor q folgt aus den Verhältnissen Volumenänderungen zu denen wir gemessen haben.

$$\Delta \langle h \rangle \approx \sqrt{(\Delta h_a (1 - q))^2 + (\Delta h_e q)^2} \quad (25)$$

Am Ende berechnen wir aus der Viskosität η vom Polyethylenglykol die Reynoldszahl Re für die Kapillare:

$$Re = \frac{\rho_f v (2R)}{(\pi R^2) \eta} = \frac{2 \rho_f \Delta V}{\pi R \eta t} \quad (26)$$

$$\Delta Re = Re \sqrt{\left(\frac{\Delta \rho_f}{\rho_f}\right)^2 + \left(\frac{\Delta (\Delta V)}{\Delta V}\right)^2 + \left(\frac{\Delta R}{R}\right)^2 + \left(\frac{\Delta \eta}{\eta}\right)^2 + \left(\frac{\Delta t}{t}\right)^2} \quad (27)$$

5.2.2 Source Code & Input

So sieht die Fortführung unserer Python-Implementierung aus:

Messwerte aus Tabelle 2 in SI Einheiten:

```
1 V = np.array([5,10,15,20,25]) *1e-6
2 Fehler_V = np.full(V.size,0.2) *1e-6
3
4 t2 = np.array([142.42,286.19,426.84,576.70,721.65])
5 Fehler_t2 = np.full(t2.size,0.3)
6
7 R = 1.5 *1e-3 /2
8 Fehler_R = 0.01 *1e-3 /2
9
10 L = 100 *1e-3
11 Fehler_L = 0.5 *1e-3
12
13 h1 = 499 *1e-3
14 Fehler_h1 = 2 *1e-3
15
16 h2 = 495 *1e-3
17 Fehler_h2 = 2 *1e-3
18
19 q=np.array([0.2,0.4,0.6,0.8,1])
```

Berechnung von $\langle h \rangle$ und $\Delta \langle h \rangle$ nach (24) bzw. (25):

```
1 h_mean = h2 + (h1-h2)*q
2 Fehler_h_mean = np.sqrt((Fehler_h2*q)**2+(Fehler_h1*(1-q))**2) *1e-3
```

Werte für ρ_f aus den Temperaturwerten (Tab.2) und Abbildung 1 entnommen:

```
1 rho_PEG2 = 1.1476 *1e3
2 Fehler_rho_PEG2 = 0.0054 *1e3
```

Berechnung von η und $\Delta \eta$ nach (22) bzw. (23):

```
1 eta2 = np.pi*(rho_PEG2*h_mean*g)*(R**4)*t2/(8*L*V)
2 Fehler_eta2 = eta2*np.sqrt((Fehler_g/g)**2+(Fehler_rho_PEG2/rho_PEG2)**2+(Fehler_h_mean/h_mean)**2
3 +4*(Fehler_R/R)**2+(Fehler_t2/t2)**2+(Fehler_L/L)**2+(Fehler_V/V)**2)
```

Fitfunktion (19) wird deklariert:

```

1 from scipy import odr
2
3 def fit_func(p, x):
4     (c) = p
5     return 0*x+c
6
7 model = odr.Model(fit_func)

```

darzustellende Daten werden übergeben:

```

1 x = np.array([1,2,3,4,5])
2 y = eta2
3 delta_x = np.array([1,1,1,1,1])
4 delta_y = Fehler_eta2

```

Startparameter für Ausgleichsrechnung werden gesetzt, sodass Lösung konvergiert:

```

1 para0 = [1]
2
3 data = odr.RealData(x, y, sx=delta_x, sy=delta_y)
4 odr = odr.ODR(data, model, beta0=para0 )
5 out = odr.run()

```

Endgültige Ausgleichsparameter und ihre Kovarianzmatrix werden ausgelesen:

```

1 popt = out.beta
2 perr = out.sd_beta

```

Angabe welche Sigma-Umgebung der Fitfunktion im Diagramm dargestellt werden soll:

```

1 nstd = 1
2
3 popt_top = popt+nstd*perr
4 popt_bot = popt-nstd*perr

```

Plot-Umgebung wird angegeben:

```

1 x_fit = np.linspace(min(x)-(max(x)-min(x))/10, max(x)+(max(x)-min(x))/10, 1000)
2 fit = fit_func(popt, x_fit)
3 fit_top = fit_func(popt_top, x_fit)
4 fit_bot = fit_func(popt_bot, x_fit)

```

Diagramm (Abb.5) wird erstellt:

```

1 fig, ax = plt.subplots(1, figsize=[6.4 *2, 4.8 *2])
2 plt.ticklabel_format(axis='both', style='sci', scilimits=(0,3), useMathText=True)
3 plt.errorbar(x, y, yerr=delta_y, lw=1, ecolor='k', fmt='none', capsize=10, label='Messdaten')
4 plt.plot(x_fit, fit, 'r', lw=1, label='Fit')
5 ax.fill_between(x_fit, fit_top, fit_bot, color='C3', alpha=.25, label=str(nstd)+r'$\sigma$'+'-
6 Umgebung')
7 plt.title('Messung nach Hagen-Poiseuille')
8 plt.grid(True)
9 plt.xlabel('Messung Nr.')
10 plt.ylabel('$\{\eta\}$ [Pa$ s$]')
11 plt.legend(loc='best')
12 plt.savefig('figures/212_Fig3.pdf', format='pdf', bbox_inches='tight')

```

Der Chi-Quadrat-Test wird durchgeführt:

```

1 dof = x.size-popt.size
2 chisquare = out.sum_square
3 chisquare_red = chisquare/dof
4 prob = round(1-chi2.cdf(chisquare,dof),2)*100

```

Auslesen der Messergebnisse:

```

1 eta2_mean = popt[0]
2 Fehler_eta2_mean = perr[0]

```

Berechnung und Mittelwertbildung von **Re** und **ΔRe** nach (26) bzw. (27):

```

1 Re2 = 2*rho_PEG2*V/(t2*np.pi*R*eta2)
2 Fehler_Re2 = Re2*np.sqrt((Fehler_V/V)**2+(Fehler_rho_PEG2/rho_PEG2)**2+(Fehler_eta2/eta2)**2
3               +(Fehler_R/R)**2+(Fehler_t2/t2)**2)
4
5 Re2_mean = np.mean(Re2)
6 Fehler_Re2_mean = np.sqrt(np.mean(Fehler_Re2**2)/Re2.size)

```

Ausgabe der Messergebnisse wird erstellt:

```
1 print('Viskosität: ')
2 print('eta_2 [Pa*s] =', format_e(eta2_mean), ' +- ', format_e(Fehler_eta2_mean))
3 print('Chi-Quadrat =', chisquare)
4 print('Freiheitsgrade =', dof)
5 print('Chi-Quadrat reduziert =', chisquare_red)
6 print('Wahrscheinlichkeit ein größeres oder gleiches Chi-Quadrat zu erhalten =', prob, '%')
7 print('\n')
8 print('Re =', format_e(Re2_mean), ' +- ', format_e(Fehler_Re2_mean))
```

5.2.3 Output

```
1 Viskosität:
2 eta_2 [Pa*s] = 1.999588e-01 +- 7.65919e-04
3 Chi-Quadrat = 0.6548238407073612
4 Freiheitsgrade = 4
5 Chi-Quadrat reduziert = 0.1637059601768403
6 Wahrscheinlichkeit ein größeres oder gleiches Chi-Quadrat zu erhalten = 96.0 %
7
8 Re = 1.705669e-01 +- 2.698329e-03
```

Wir erfahren also sofort, dass

$$\eta_2 = 1.9996(77) \times 10^{-1} \text{ Pa s}$$
$$Re = 1.706(27) \times 10^{-1}$$

und als Ergebnis auf unseren Anpassungstest:

$$\chi_{red}^2 = 1.6 \times 10^{-1}$$

Die Wahrscheinlichkeit ein größeres oder gleiches Chi-Quadrat zu erhalten ist

$$P \approx 96.0\%$$

und wir erhalten das Diagramm in Abb.5.

6 Fazit

Unsere zwei verschiedenen Messmethoden liefern uns zum Schluss folgende Ergebnisse:

$$\eta_1 = 1.942(80) \times 10^{-1} \text{ Pa s}$$
$$\eta_2 = 1.9996(77) \times 10^{-1} \text{ Pa s}$$

Der Unterschied zwischen diesen Werten beträgt nur **0.7 σ** und ist somit nicht signifikant. Man sollte trotzdem nicht vergessen, dass die Temperaturen der Flüssigkeit sich leicht unterschieden haben:

$$T_1 = 21.0(5) \text{ }^\circ\text{C}$$
$$T_2 = 22.0(5) \text{ }^\circ\text{C}$$

Das bedeutet, dass die Änderung der Viskosität mit der Temperatur innerhalb unserer Messunsicherheiten liegt. Um dies genauer zu überprüfen, sollte man denselben Versuch bei verschiedenen Temperaturen wiederholen, um systematische Fehler zwischen den verschiedenen Versuchen auszuschließen und am besten dafür den Versuch verwenden, der eine geringere Messunsicherheit aufweist und leichter durchzuführen ist (in diesem Fall die Messung mit der Kapillare).

Die Chi-Quadrat-Tests liefern uns:

$$\chi_{red,1}^2 = 5.0$$
$$\chi_{red,2}^2 = 1.6 \times 10^{-1}$$

Die Werte lassen darauf schließen, dass beim Fit an die kleinen Kugeldurchmesser im ersten Versuch trotzdem signifikante Fehler aufgetreten sind. Zum Beispiel konnten uns auf einzelnen Kugeln Luftbläschen nicht aufgefallen sein, oder die Kugeln zu nah am Gefäßrand fallen gelassen worden sein. Der geringe Wert im Kapillarversuch ist möglicherweise rein statistisch bedingt oder durch zu grobe Abschätzung der Ablesegenauigkeit an den entsprechenden Gefäßen

bedingt.

Wir betrachten Tabelle 3. Die Ladenburgsche Korrektur (6) ist für genügend kleine Kugeldurchmesser (in unserem Fall für $d < 3mm$) nicht notwendig, da ihre Sinkgeschwindigkeiten $\langle v \rangle$ dann nicht mehr signifikant (Differenz: $< 1\sigma$) vom theoretischen Wert v_{theo} abweichen. Bei größere Kugeldurchmesser nimmt dieser systematische Fehler eine signifikante Größe an und ab einem bestimmten Punkt ($\approx Re_{kr}$) schlägt die laminare Strömung um und wird turbulent. Das erhöht die Abweichung des praktischen vom theoretischen Wert, zusätzlich zum Fehlen der Korrektur.

Bei der Messung mit dem Kugelfallviskosimeter lässt sich die kritische Reynoldszahl als

$$Re_{kr} \approx 0.30(5)$$

aus Abbildung 4 abschätzen und in der Kapillare haben wir eine gemittelte Reynoldszahl von

$$Re = 1.706(27) \times 10^{-1}$$

bestimmt. Damit liegt in der Messung nach Hagen-Poiseuille Re deutlich unterhalb der zuvor bestimmten kritischen Reynoldszahl Re_{kr} (Differenz: -2.6σ). Wir können also mit großer Sicherheit von einer laminaren Strömung ausgehen und somit die Gültigkeit von (26) untermauern.

7 Abbildungen

Hier sind Abbildungen 3 bis 5 angehängt.

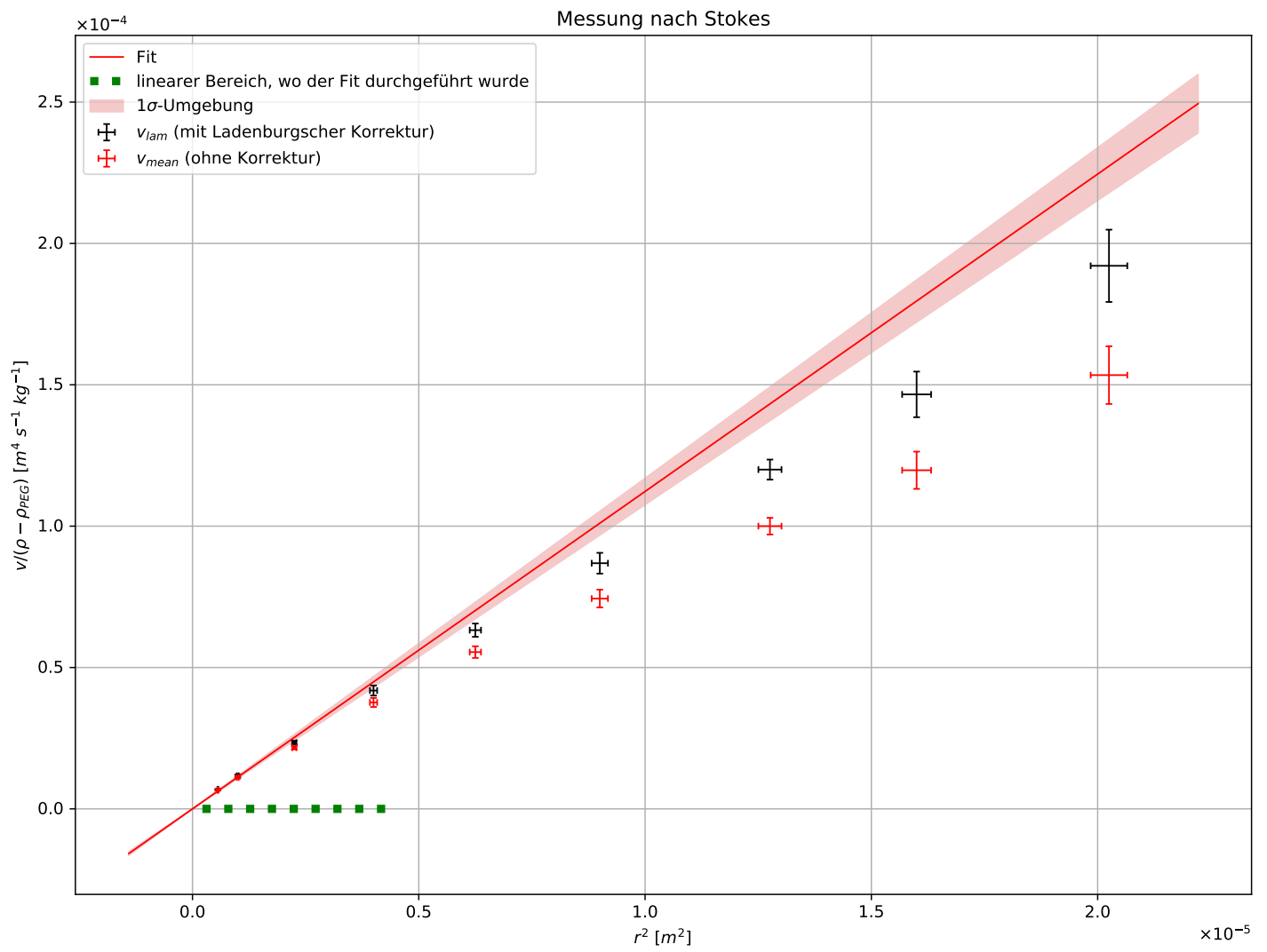


Abbildung 3

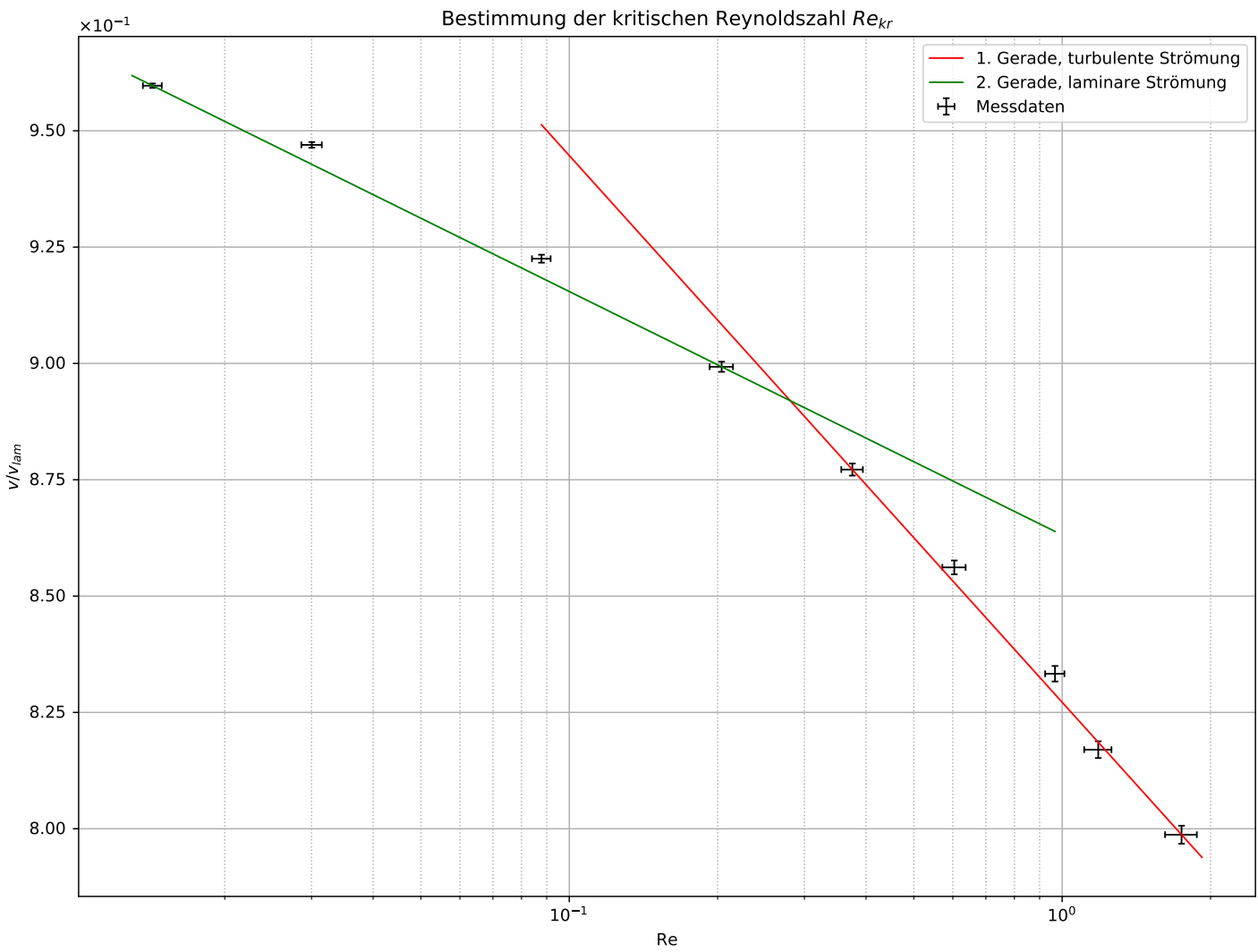


Abbildung 4

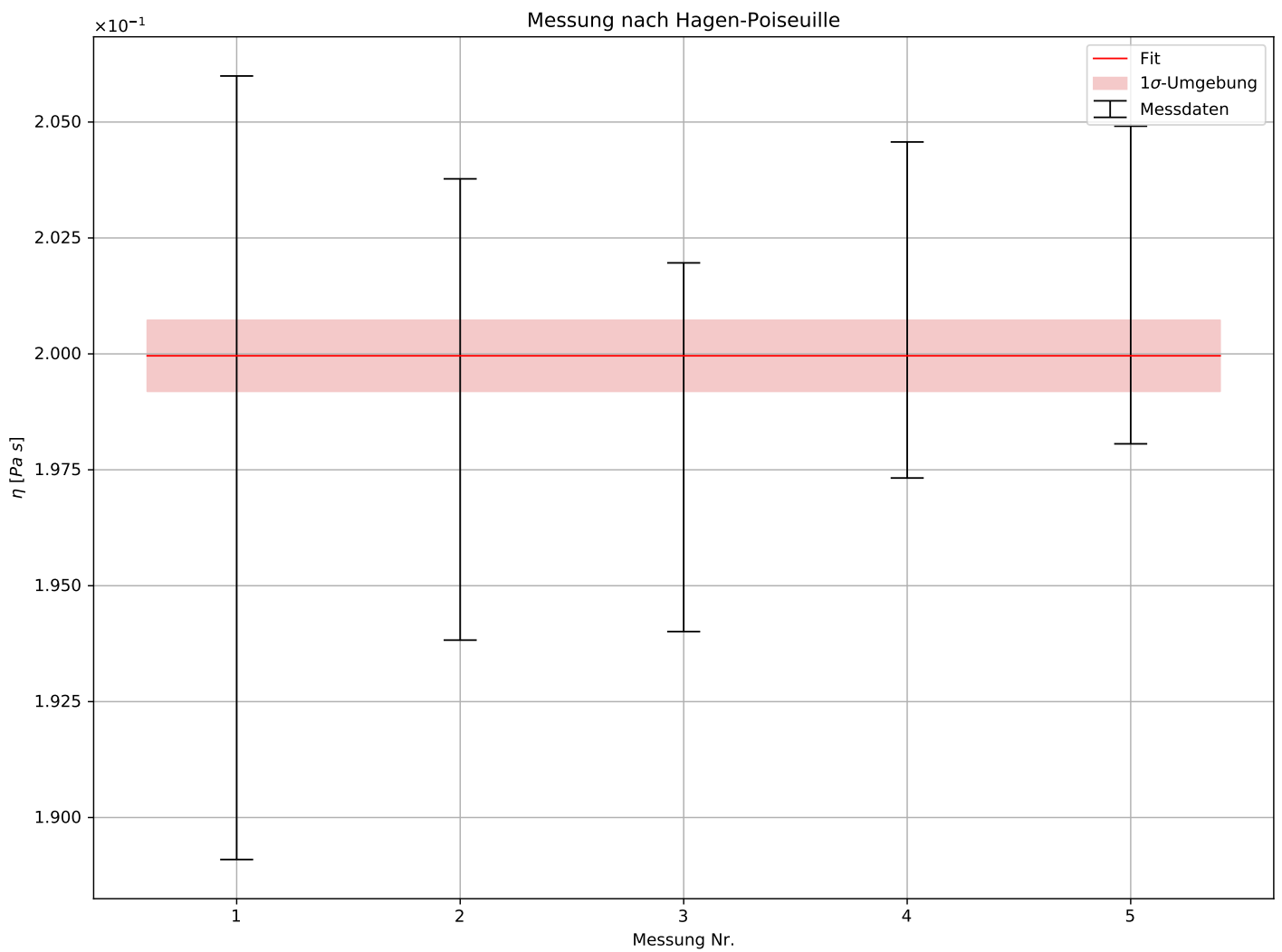


Abbildung 5